



# Image, Modélisation et Rendu

## Parcours Multimédia, Département SN

## Parcours IATI, Département 3EA

### Des transformations à l'analyse d'images

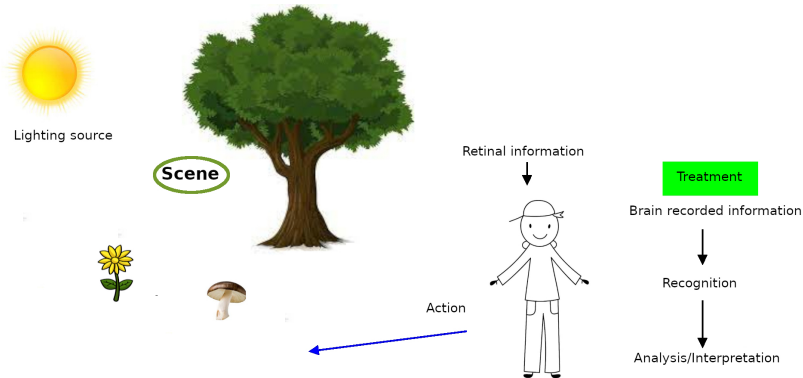
### Partie I

Sylvie CHAMBON  
[schambon@enseeiht.fr](mailto:schambon@enseeiht.fr)

28 janvier 2025

# Introduction

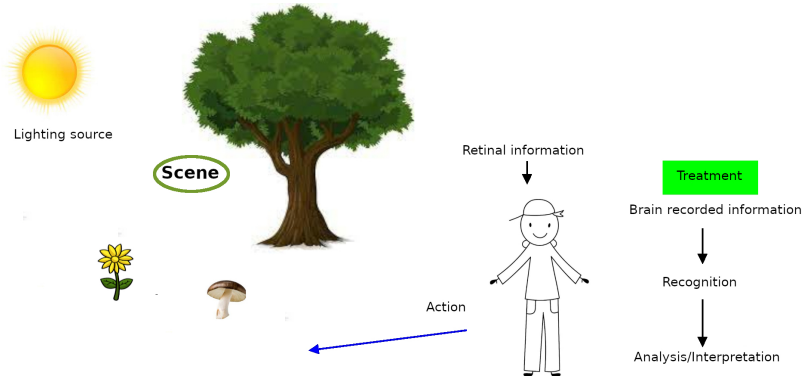
## Vision humaine





# Introduction

## Vision humaine



### ● Performances

- Scène perçue  $\approx$  1 méga pixels en couleur et en intensité
- Temps d'identification d'une image  $\approx$  100ms
- Nombre de scènes mémorisées  $\approx$  100000



# Introduction

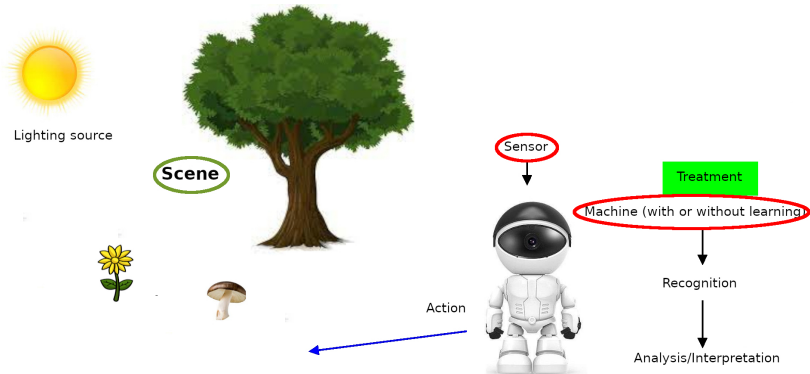
## Objectifs/Buts de la vision artificielle

- **Objectifs** : Atteindre les performances du système humain
- **Buts** : Réaliser des tâches humaines difficiles ou fastidieuses par des machines



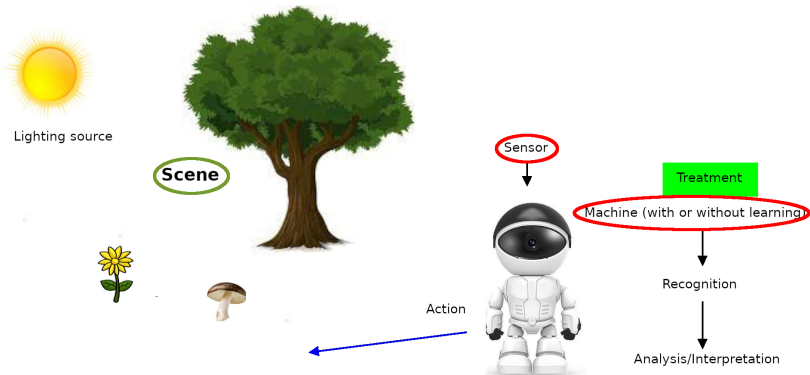
# Introduction

## Traitement d'images/Vision par ordinateur



# Introduction

## Traitement d'images/Vision par ordinateur

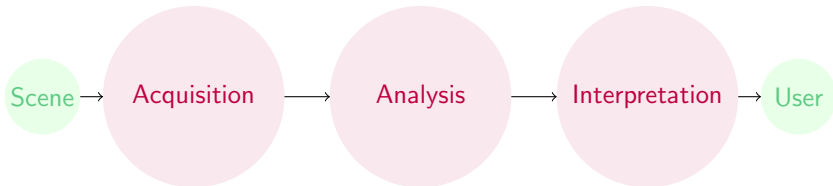


- **Dispositif** : scène + source lumineuse + capteur
- **Chaîne traitement** : acquisition, traitement (reconnaissance + interprétation), décision



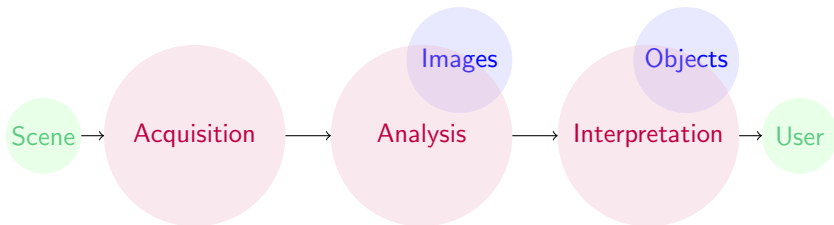
# Introduction

Traitement d'images/Vision par ordinateur



# Introduction

## Traitement d'images/Vision par ordinateur

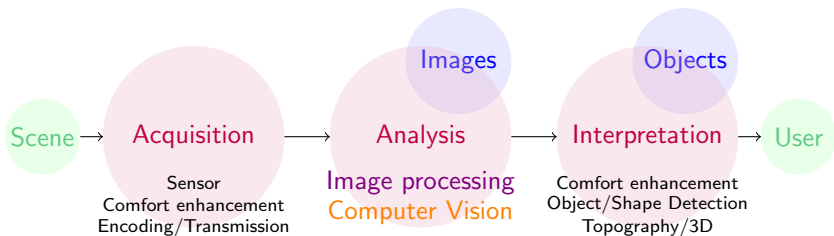


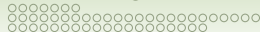




# Introduction

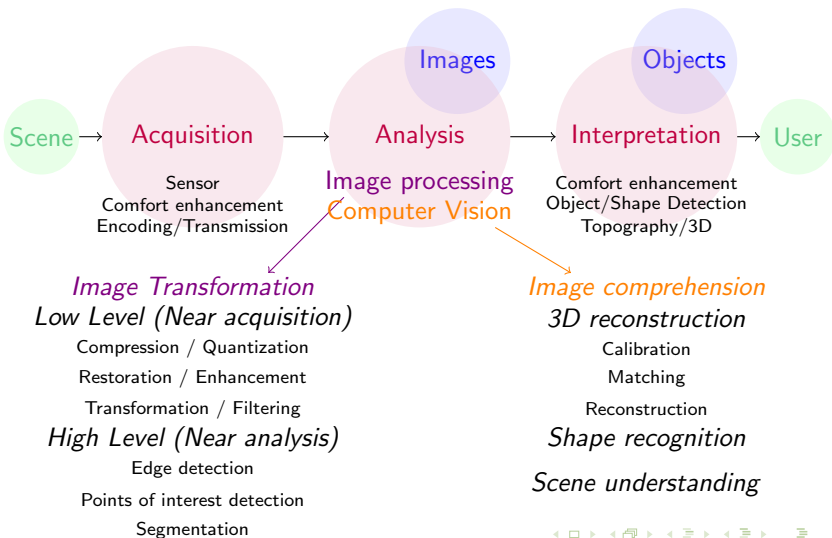
## Traitement d'images/Vision par ordinateur





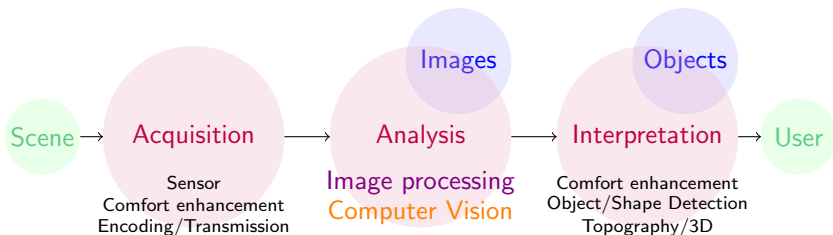
# Introduction

## Traitement d'images/Vision par ordinateur



# Introduction

## Traitement d'images/Vision par ordinateur



### *Image Transformation*

#### *Low Level (Near acquisition)*

Compression / Quantization

Restoration / Enhancement

Transformation / Filtering

#### *High Level (Near analysis)*

Edge detection

Points of interest detection

Segmentation

### *Image comprehension*

#### *3D reconstruction*

Calibration

Matching

Reconstruction

#### *Shape recognition*

#### *Scene understanding*

# Quelle place pour l'apprentissage dans ce cours ?

- **Apprentissage supervisé**

Def. Programmes capables de réaliser une tâche sans la coder explicitement

- **Aprentissage par l'expérience de la tâche**

Ssi il existe une mesure de performance qui augmente avec l'expérience [Mitchell 1997]

- Deux éléments pour faire de l'apprentissage
  1. Une base d'apprentissage = base de données annotées
  2. Un prédicteur qui minimise la différence

*entre* les étiquettes réelles et les étiquettes prédites

- **Algorithmes connus**

- Arbre de décisions [Quinlan 1986]
- Forêts aléatoires [Breiman 2001]
- Réseaux de neurones [McCulloch 1943]



# Pourquoi les réseaux de neurones sont populaires depuis 2010 ?

- **Neurone**: Proche du concept en biologie
- **Perceptron**: plusieurs entrées, codées dans un vecteur  $\mathbf{x}$  pondérés, avec les poids  $\mathbf{w}$   
une seule réponse  $y$  [Rosenblatt 1958]:

$$y = f(\mathbf{w}^T \mathbf{x} + b), \quad (1)$$

avec  $b$ , le bias,  $f$ , la fonction d'activation

Rq: **Modèle perceptron = Pas de résolution de problème non-linéaire**  
[Marvin 1969]

- Avec [Rumelhart 1986]: prise en compte de plusieurs couches
  - Couche d'entrée : les données
  - Couche de sortie : le résultat
  - Couches intermédiaires = couches cachées
- **Apprentissage profond** = au moins 2 couches cachées
- LeNet network [Lecun 1998] : 5 couches
- AlexNet network [Krizhevsky 2012]: dizaines de couches



# Pourquoi les réseaux de neurones sont populaires depuis 2010 ?

- **Difficultés des approches basées réseaux de neurones**
  1. Coûteux
  2. Bases de données annotées conséquentes
- **Ce qui a permis leur utilisation**
  1. Plus facile d'acquérir des données (capteurs)
  2. Accès facilité à des données existantes (partage et transfert)
  3. Annotation simplifiée (plateforme de crowdsourcing)
  4. Augmentation des puissances de calculs
  5. Meilleure compréhension et utilisation des fonctions d'activation sigmoïde (pas efficace)  
reLU rectified Linear Unit [Nair 2010]
- Travaux connus [LeCun 2015] , [Goodfellow 2016]





## Objectifs d'apprentissage

- (1) Connaître les outils fondamentaux pour analyser et transformer une image**
  1. Savoir étudier la dynamique des niveaux de gris (histogramme)
  2. Connaître les outils de convolution et de filtrage
  3. Savoir utiliser les filtres de convolution
- (2) Découvrir et apprendre les éléments liés à la détection de contours**
  1. Apprendre à construire un filtre de convolution pour calculer la dérivée
  2. Connaître l'algorithme classique de détection de contours.
- (3) Découvrir et apprendre différentes techniques de segmentation**
  1. Savoir distinguer les approches fond/forme des approches pour plus de deux régions
  2. Apprendre et distinguer les différentes catégories de méthodes de segmentation
  3. Connaître en détails et savoir coder la méthode des k-moyennes





## Objectifs d'apprentissage

- (4) **Savoir évaluer qualitativement et quantitativement un résultat de segmentation**
  1. Comprendre la notion de segmentation de référence
  2. Connaître les différentes mesures d'évaluation
- (5) **Comprendre les méthodes de sur-segmentation appelées superpixels**
  1. Comprendre la différence entre segmentation et sur-segmentation
  2. Savoir analyser les différents éléments d'une méthode de sur-segmentation : attributs et propriétés utilisées ainsi que méthode de construction
  3. Coder une approche connue : SLIC
- (6) **Partie pratique : Concevoir une chaîne de traitement complète pour segmenter une image**

## Objectifs d'apprentissage : Conclusion

Vous devez être capable d'analyser une image donnée en :

- Identifiant les difficultés de la scène en terme d'extraction de contours ou de segmentation
- Proposant des solutions que vous savez justifier

# Temps de travail

- Introduction : 10 minutes
- Chapitre 1 : 1 ou 2h
- Chapitre 2 : 1 ou 2h
- Chapitre 3 : 1 ou 2h
- Chapitre 4 : 1 ou 2h
- Chapitre 5 et 6 (en bonus) : 1h



# Introduction

## Notations/Définitions

Binaire



Niveau de gris



Couleur



3D



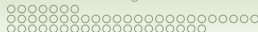


# Introduction

## Représentation d'une image : du continu vers le discret

En continu:

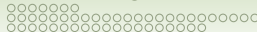
$$I : \mathbb{R}^n \longrightarrow \mathbb{R}^m$$
$$\mathbf{p} \longmapsto I(\mathbf{p}),$$



# Introduction

Représentation d'une image : du continu vers le discret

Type	Représentation	Machine	Oeil humain
BINAIRE	$I : \mathbb{R}^2 \rightarrow [0; 1]$	noir = 0, blanc = 1	
NIVEAU DE GRIS	$I : \mathbb{R}^2 \rightarrow [0, 255]$	256 niveaux (1 octet)	64 niveaux
COULEUR	$I : \mathbb{R}^2 \rightarrow [0, 255] \times [0, 255] \times [0, 255]$	16 millions de couleurs (3 octets)	350000 couleurs
3D	$I : \mathbb{R}^3 \rightarrow [0, 255]$ OU $[0, 255] \times [0, 255] \times [0, 255]$		



# Introduction

Représentation d'une image : du continu vers le discret

Binaire



Niveau de gris

250	252	184	41	54
133	138	20	24	56
117	89	34	56	54
252	184	184	124	250

Couleur

54	57	56	22	88
252	56	56	117	54
250	252	184	41	54
133	138	20	24	56
117	89	34	56	54
252	184	184	124	250

3D

110	56	125	98	88
122	118	104	101	110
100	161	147	52	125
57	56	12	8	88
22	11	18	54	22
10	16	17	4	54
54	57	56	12	88
252	56	56	117	54
250	252	184	41	54
133	138	20	24	56
117	89	34	56	54
252	184	184	124	250



# Introduction

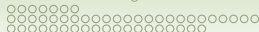
## Notations

Nous utilisons souvent le terme norme et en particulier nous utilisons les normes  $L_p$  définies par :

$$L_P((x_1, y_1), (x_2, y_2)) = (|x_1 - x_2|^P + |y_1 - y_2|^P)^{\frac{1}{P}}. \quad (2)$$

Nous avons donc  $L_1$  qui est la somme des différences en valeur absolue et qui est également appelée *city-block*. La norme  $L_2$  est la distance euclidienne.

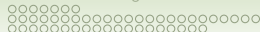




# Introduction

## Suite des notations

- $I$  : une image qui à chaque point/pixel  $\mathbf{p}$  associe un niveau de gris noté  $I(x, y)$  ;
- $I_x, I_y, I_{xx}, I_{yy}, I_{xy}$  : images des dérivées premières et secondes de l'image ;
- $I_x(x, y), \dots, I_{xy}(x, y)$  : valeurs des dérivées premières et secondes au point  $\mathbf{p}$  ;
- Pour simplifier, on notera  $I_x$  pour  $I_x(x, y) \dots$
- **Lissage** : à définir
- **Padding** : à définir



## Tranformations d'images

- Types de transformation

- Transformations ponctuelles

- Transformations locales

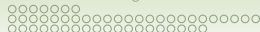
## Détection de contours

- Définitions et notion de dérivée

- Algorithme de détection basique

- Calcul de dérivées premières

- Calcul des dérivées secondes



## Transformations d'images

- Types de transformation

- Transformations ponctuelles

- Transformations locales

## Détection de contours

- Définitions et notion de dérivée

- Algorithme de détection basique

- Calcul de dérivées premières

- Calcul des dérivées secondes



# Plan de la présentation

## Tranformations d'images

- Types de transformation

- Transformations ponctuelles

- Transformations locales

## Détection de contours





# Classement des types de transformation (1)

**Nous parlons ici des filtres utilisés, et non des images acquises. Il n'y a donc aucune image spatiale ou fréquentielle.**

- Locales/globales
- Spatiales : histogrammes, filtrage, convolution  
*versus* fréquentielles : Fourier



## Classement des types de transformation (2)

	SPATIALE	FRÉQUENTIELLE	MORPHOLOGIQUE
<i>Ponctuelle</i>	<i>Look Up Table / Histogrammes</i>	-	-
<i>Locale</i>	Filtrage/Convolution	Filtrage/Convolution	Morphologie mathématique
<i>Globale</i>	Filtrage/Convolution	Fourier	-



## Classement des types de transformation (2)

	SPATIALE	FRÉQUENTIELLE	MORPHOLOGIQUE
<i>Ponctuelle</i>	<i>Look Up Table / Histogrammes</i>	-	-
<i>Locale</i>	<b>Filtrage/Convolution</b>	Filtrage/Convolution	Morphologie mathématique
<i>Globale</i>	Filtrage/Convolution	Fourier	-





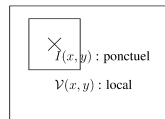
# Classement des types de transformation

- Passe-bas : atténue le bruit et les détails (lissage)
- Passe-haut : accentue les contours et les détails (amplifie le bruit)
- Passe-bande : compromis

## Quelques notations (1)

$I'$  : image transformée,  $T$  : transformation

- **Ponctuelle** :  $I'(x, y) = T(I(x, y))$
- **Locale** :  $I'(x, y) = T(\mathcal{V}(x, y))$  avec  $\mathcal{V}(x, y)$ , voisinage de  $\mathbf{p}(x, y)$  (notion de **connexité**)
- **Globale** :  $I'(x, y) = T(I)$



**En global, le résultat est bien une image (Transformée de Fourier).**



## Quelques notations (2)

### Notion de voisinage de $\mathbf{p}$ – Notion de connexité

- Ensemble de pixels  $\mathbf{p}'$  à une distance  $d$  donnée

Tels qu'il existe un chemin de  $\mathbf{p}$  à  $\mathbf{p}'$  tel que les pixels qui le constituent appartiennent à  $\mathcal{V}(x, y)$ .



## Quelques notations (2)

### Notion de voisinage de $\mathbf{p}$ – Notion de connexité

- Ensemble de pixels  $\mathbf{p}'$  à une distance  $d$  donnée

Tels qu'il existe un chemin de  $\mathbf{p}$  à  $\mathbf{p}'$  tel que les pixels qui le constituent appartiennent à  $\mathcal{V}(x, y)$ .

- $d$  peut être
  - une distance euclidienne ( $L_2$ )
  - de type *city-block* ( $L_1$ )
  - ou encore *chess board* ou distance de Chebyshev

$$L_\infty = \max(|x - x'|, |y - y'|)$$



# Plan de la présentation

## Tranformations d'images

- Types de transformation

- Transformations ponctuelles

- Transformations locales

## Détection de contours



# Transformations ponctuelles

## Notions d'histogramme







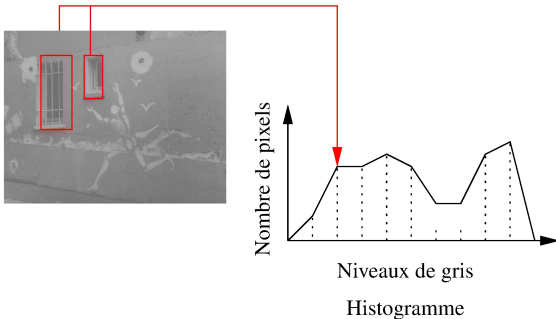






# Transformations ponctuelles

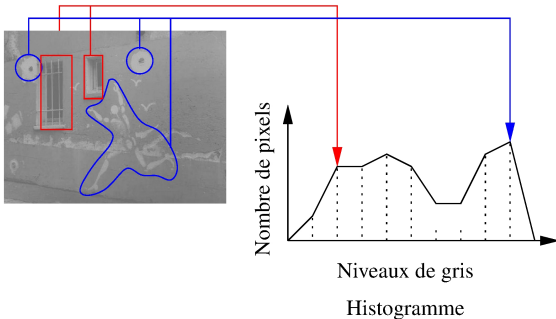
## Notions d'histogramme





# Transformations ponctuelles

## Notions d'histogramme





# Transformations ponctuelles

## Définition 1 : Histogramme

Un histogramme fournit le nombre de pixels pour chaque niveau de gris, sachant que l'image possède  $N$  pixels :

$$H : [0, N_{\max}] \longrightarrow [0, N]$$

$$i \longmapsto H(i) \text{ où } H(i) = \#\{(x, y) | I(x, y) = i\}$$



# Transformations ponctuelles

## Utilisation de l'histogramme

- Permet d'étudier la dynamique de l'image (le **contraste**)
- Donne une vue d'ensemble de la **distribution des niveaux de gris**
- Permet de mettre en évidence les **populations significatives dans l'image**



# Transformations ponctuelles

## Utilisation de l'histogramme

- Permet d'étudier la dynamique de l'image (le **contraste**)
- Donne une vue d'ensemble de la **distribution des niveaux de gris**
- Permet de mettre en évidence les **populations significatives dans l'image**
- **Par contre, l'histogramme ne permet pas de localiser les populations d'intérêt**

Image 1

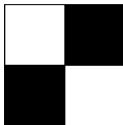
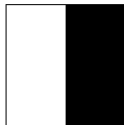


Image 2





# Transformations ponctuelles

## Définition 2 : Histogramme normalisé

$$H_n(i) = \frac{H(i)}{N}$$

**Cadre probabiliste : densité de probabilité**



# Transformations ponctuelles

## Définition 3 : Histogramme cumulé (1)

Nombre de pixels inférieurs à chaque niveau de gris

$$H_c : [0, N_{\max}] \longrightarrow [0, N]$$

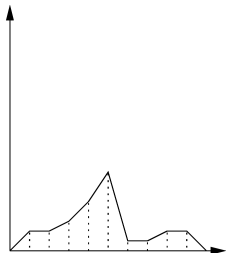
$$i \longmapsto H_c(i) \text{ où } H_c(i) = \sum_{k=0}^i H(k)$$



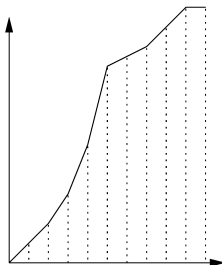


# Transformations ponctuelles

## Histogramme cumulé



Histogramme



Histogramme cumulé



# Transformations ponctuelles

## Définition 3 : Histogramme cumulé (2)

- **Propriétés**

- Toujours croissant

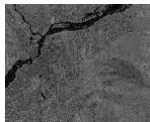
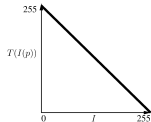
- $$H_c(N_{\max}) = \sum_{k=0}^{N_{\max}} H(k) = N$$

- **Propriétés de transition**

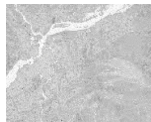
- $$\begin{cases} H_c(0) = H(0) \\ H_c(i) = H_c(i-1) + H(i) \quad \forall i \in [1, N_{\max}] \end{cases}$$
- $$\begin{cases} H(0) = H_c(0) \\ H(i) = H_c(i) - H_c(i-1) \quad \forall i \in [1, N_{\max}] \end{cases}$$

# Transformations ponctuelles

## Transformations d'histogrammes



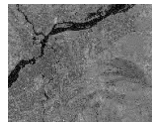
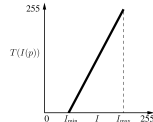
*Image*



*Inversion*



*Binarisation*



*Étalement*

Comment choisir le seuil de binarisation ?

# Transformations ponctuelles

## Transformations d'histogrammes

### Inversion

$$T(i) = N_{\max} - i, \text{ avec } N_{\max}, \text{ le niveau de gris maximal}$$



# Transformations ponctuelles

## Transformations d'histogrammes

### Inversion

$T(i) = N_{\max} - i$ , avec  $N_{\max}$ , le niveau de gris maximal

### Seuillage/Binarisation

$$T(i) = \begin{cases} 1 & \text{Si } i > S \\ 0 & \text{Sinon.} \end{cases}, \text{ avec } S, \text{ un seuil à choisir}$$

# Transformations ponctuelles

## Approche Otsu pour déterminer le seuil (1)

- **Objectif :** Déterminer automatiquement le seuil  $k$  séparant au mieux deux classes/objets présents  $C_0$  et  $C_1$
- **Principe utilisé :** Minimiser la variance au sein de chaque classe
- **Propriété utilisée :** Lien entre variance totale, variance intra-classe et variance inter-classe

# Transformations ponctuelles

## Approche Otsu pour déterminer le seuil (2)

- **Notations**

- $\mu_0, \mu_1$  : moyennes des classes
- $w_0, w_1$  : poids des classes
- $\mu_T$  : moyenne des niveaux de gris sur l'ensemble de l'image

- **Définitions importantes**

$$w_0\mu_0 + w_1\mu_1 = \mu_T \quad \text{avec } w_0 + w_1 = 1 \quad (3)$$

$$\sigma_{intra}^2 = w_0\sigma_0^2 + w_1\sigma_1^2 \quad (4)$$

$$\sigma_{inter}^2 = w_0(\mu_0 - \mu_T)^2 + w_1(\mu_1 - \mu_T)^2 = w_0w_1(\mu_1 - \mu_0)^2 \quad (5)$$

# Transformations ponctuelles

## Approche Otsu pour déterminer le seuil (3)

### Propriété importante

$$\sigma_{intra}^2 + \sigma_{inter}^2 = \sigma_T^2, \quad (6)$$

**Conséquence : minimiser la variance intra classe revient à maximiser la variance inter classe**

$$\begin{aligned} k &= \operatorname{argmin}_k w_0(\mu_0 - \mu_T)^2 + w_1(\mu_1 - \mu_T)^2 \\ &= \operatorname{argmax}_k w_0 w_1(\mu_1 - \mu_0)^2 \end{aligned} \quad (7)$$





# Transformations ponctuelles

## Approche Otsu pour déterminer le seuil (4)

- Algorithme simple : parcourir l'ensemble des seuils possibles
- Algorithme rapide : 255 niveaux de gris à parcourir
- Astuce algorithmique : modifier les moyennes et variances successives par un simple jeu d'ajouts/suppressions des valeurs ajoutées/supprimées



# Transformations ponctuelles

## Approche par mélange de gaussienne pour déterminer le seuil (1)

- Une image bimodale peut être vue comme l'estimation de la fonction densité de probabilité de l'intensité :  $p(x)$ .
- Densité = superposition de deux densités unimodales correspondant aux deux régions à segmenter :  $p(x) = P_1 p_1(x) + P_2 p_2(x)$ , avec  $p_1$  et  $p_2$ , deux densités de probabilité gaussiennes, centrées respectivement en  $\mu_1$  et  $\mu_2$  (avec  $\mu_1 < \mu_2$ ), et d'écart type respectif  $\sigma_1$  et  $\sigma_2$ .
- $P_1 + P_2 = 1$ .



# Transformations ponctuelles

## Approche par mélange de gaussienne pour déterminer le seuil (2)

- Un seuil  $T$  peut être choisi de manière à séparer les deux modes.
- Erreur de classification :

$$E(T) = P_2 E_1(T) + P_1 E_2(T),$$

avec  $E_1$ , la probabilité de se tromper en classant 2 en 1, et *vice versa*

- Minimisation atteinte lorsque :  $P_1 E_1(T) = P_2 E_2(T)$ .
- Résultat classique pour une même variance  $\sigma$  :

$$S = \frac{\mu_1 + \mu_2}{2} + \frac{\sigma^2}{\mu_1 + \mu_2} \ln \left( \frac{P_2}{P_1} \right).$$

**conséquence de l'expression de minimisation en utilisant la définition de la fonction gaussienne**



# Transformations ponctuelles

## Étalement/Modification de la dynamique

1. On a :  $i \in [I_{\min}, I_{\max}]$ .



# Transformations ponctuelles

## Étalement/Modification de la dynamique

1. On a :  $i \in [I_{\min}, I_{\max}]$ .
2. On souhaite :  $i \in [0, N_{\max}]$ .



# Transformations ponctuelles

## Étalement/Modification de la dynamique

1. On a :  $i \in [I_{\min}, I_{\max}]$ .
2. On souhaite :  $i \in [0, N_{\max}]$ .
3. On suppose une transformation affine :  $T(i) = ai + b$ .



# Transformations ponctuelles

## Étalement/Modification de la dynamique

1. On a :  $i \in [I_{\min}, I_{\max}]$ .
2. On souhaite :  $i \in [0, N_{\max}]$ .
3. On suppose une transformation affine :  $T(i) = ai + b$ .
4. On sait que  $T(I_{\min}) = 0$  et  $T(I_{\max}) = N_{\max}$ .

D'où (1)  $aI_{\min} + b = 0$  et (2)  $aI_{\max} + b = N_{\max}$

$$(1) - (2) \text{ donne } a = \frac{N_{\max}}{I_{\max} - I_{\min}}$$



# Transformations ponctuelles

## Étalement/Modification de la dynamique

1. On a :  $i \in [I_{\min}, I_{\max}]$ .
2. On souhaite :  $i \in [0, N_{\max}]$ .
3. On suppose une transformation affine :  $T(i) = ai + b$ .
4. On sait que  $T(I_{\min}) = 0$  et  $T(I_{\max}) = N_{\max}$ .  
 D'où (1)  $aI_{\min} + b = 0$  et (2)  $aI_{\max} + b = N_{\max}$   
 (1) - (2) donne  $a = \frac{N_{\max}}{I_{\max} - I_{\min}}$
5. On obtient :  $T(i) = \frac{N_{\max}}{I_{\max} - I_{\min}}(i - I_{\min})$ .





# Transformations ponctuelles

Recadrage de la dynamique : propriétés

- Même raisonnement par morceaux (type d'objets)
- Étalement préserve la forme de l'histogramme
- Ré-hausse le contraste tout en préservant le degré d'importance/de saillance de chaque objet présent dans la scène
- **L'histogramme étalé obtenu est clairsemé car le nombre de niveaux de gris ne change pas.**

# Transformations ponctuelles

Recadrage de la dynamique : illustrations



*Image originale*

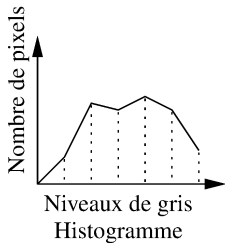
# Transformations ponctuelles

Recadrage de la dynamique : illustrations



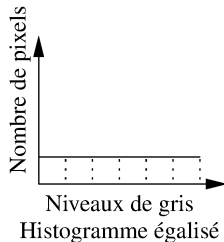
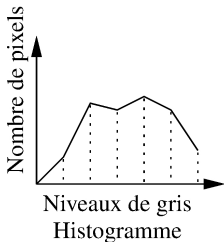
# Transformations ponctuelles

## Égalisation : principe



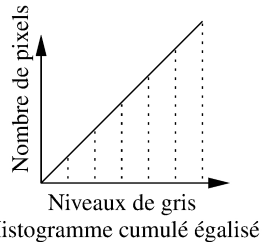
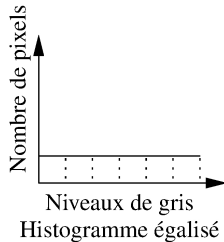
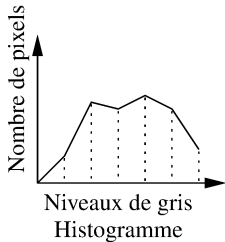
# Transformations ponctuelles

## Égalisation : principe



# Transformations ponctuelles

## Égalisation : principe





# Transformations ponctuelles

## Égalisation : définition

Transformation de l'histogramme cumulé

1.  $T$  telle que :  $H'_c(T(i)) = H_c(i)$  où  $H'_c$  histogramme souhaité



# Transformations ponctuelles

## Égalisation : définition

Transformation de l'histogramme cumulé

1.  $T$  telle que :  $H'_c(T(i)) = H_c(i)$  où  $H'_c$  histogramme souhaité
2. De plus,  $H'_c(i) = \frac{N}{N_{\max}} \times (i + 1)$  où  $N$  est le nombre de pixels de l'image et  $N_{\max}$  le nombre de niveaux de gris.



# Transformations ponctuelles

## Égalisation : définition

### Transformation de l'histogramme cumulé

1.  $T$  telle que :  $H'_c(T(i)) = H_c(i)$  où  $H'_c$  histogramme souhaité
2. De plus,  $H'_c(i) = \frac{N}{N_{\max}} \times (i + 1)$  où  $N$  est le nombre de pixels de l'image et  $N_{\max}$  le nombre de niveaux de gris.
3. Ainsi,  $H'_c(T(i)) = \frac{N}{N_{\max}} \times (T(i) + 1)$ .

# Transformations ponctuelles

## Égalisation : définition

### Transformation de l'histogramme cumulé

1.  $T$  telle que :  $H'_c(T(i)) = H_c(i)$  où  $H'_c$  histogramme souhaité
2. De plus,  $H'_c(i) = \frac{N}{N_{\max}} \times (i + 1)$  où  $N$  est le nombre de pixels de l'image et  $N_{\max}$  le nombre de niveaux de gris.
3. Ainsi,  $H'_c(T(i)) = \frac{N}{N_{\max}} \times (T(i) + 1)$ .
4. On en déduit que  $\frac{N}{N_{\max}}(T(i) + 1) = H_c(i)$

# Transformations ponctuelles

## Égalisation : définition

### Transformation de l'histogramme cumulé

1.  $T$  telle que :  $H'_c(T(i)) = H_c(i)$  où  $H'_c$  histogramme souhaité
2. De plus,  $H'_c(i) = \frac{N}{N_{\max}} \times (i + 1)$  où  $N$  est le nombre de pixels de l'image et  $N_{\max}$  le nombre de niveaux de gris.
3. Ainsi,  $H'_c(T(i)) = \frac{N}{N_{\max}} \times (T(i) + 1)$ .
4. On en déduit que  $\frac{N}{N_{\max}}(T(i) + 1) = H_c(i)$
5. D'où :  $T(i) = \begin{cases} 0 & \text{Si } H_c(i) < \frac{N_{\max}}{N} \\ \frac{N_{\max}H_c(i)}{N} - 1 & \text{Sinon} \end{cases}$

# Transformations ponctuelles

## Égalisation : définition

Transformation de l'histogramme cumulé

1.  $T$  telle que :  $H'_c(T(i)) = H_c(i)$  où  $H'_c$  histogramme souhaité
2. De plus,  $H'_c(i) = \frac{N}{N_{\max}} \times (i + 1)$  où  $N$  est le nombre de pixels de l'image et  $N_{\max}$  le nombre de niveaux de gris.
3. Ainsi,  $H'_c(T(i)) = \frac{N}{N_{\max}} \times (T(i) + 1)$ .
4. On en déduit que  $\frac{N}{N_{\max}}(T(i) + 1) = H_c(i)$
5. D'où :  $T(i) = \begin{cases} 0 & \text{Si } H_c(i) < \frac{N_{\max}}{N} \\ \frac{N_{\max}H_c(i)}{N} - 1 & \text{Sinon} \end{cases}$

**Problème** : Cette transformation n'est pas définie si  $H_c(i) < \frac{N}{N_{\max}}$ .

# Transformations ponctuelles

## Égalisation : définition

Transformation de l'histogramme cumulé

1.  $T$  telle que :  $H'_c(T(i)) = H_c(i)$  où  $H'_c$  histogramme souhaité
2. De plus,  $H'_c(i) = \frac{N}{N_{\max}} \times (i + 1)$  où  $N$  est le nombre de pixels de l'image et  $N_{\max}$  le nombre de niveaux de gris.
3. Ainsi,  $H'_c(T(i)) = \frac{N}{N_{\max}} \times (T(i) + 1)$ .
4. On en déduit que  $\frac{N}{N_{\max}} (T(i) + 1) = H_c(i)$
5. D'où :  $T(i) = \begin{cases} 0 & \text{Si } H_c(i) < \frac{N_{\max}}{N} \\ \frac{N_{\max} H_c(i)}{N} - 1 & \text{Sinon} \end{cases}$

**Problème :** Cette transformation n'est pas définie si  $H_c(i) < \frac{N}{N_{\max}}$ .

**Conséquence :** L'histogramme égalisé ne sera pas égal à l'histogramme théorique attendu, c'est-à-dire que tous les éléments de l'histogramme égalisés ne seront pas égaux. .

# Transformations ponctuelles

## Égalisation : propriétés

- À l'inverse de l'étalement, l'égalisation réhausse le contraste en faisant apparaître chaque population avec la même importance (c'est ce que nous avons voulu dire par chaque objet a le même niveau de contraste).
- **L'histogramme obtenu est clairsemé car le nombre de niveau de gris utilisé n'est pas augmenté, voire, il est diminué.**
- **La transformation calculée n'étant pas définie pour certaines valeurs de niveaux de gris, certains niveaux de gris sont perdus et nous obtenons donc des valeurs qui ne sont pas strictement égales d'un niveau de gris à l'autre.**

# Transformations ponctuelles

## Égalisation : illustrations et comparaisons



*Image originale*



# Transformations ponctuelles

Égalisation : illustrations et comparaisons



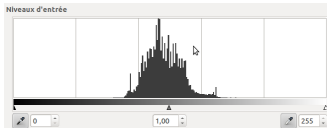
*Étalement de la dynamique*



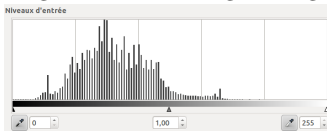


# Transformations ponctuelles

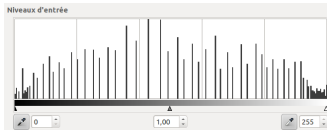
## Égalisation : illustrations et comparaisons



*Histogramme de l'image d'origine*



*Étalement de la dynamique*



*Égalisation*



# Transformations locales

## Filtrage

- Amélioration de l'image
- Interprétation de l'image



# Plan de la présentation

## Tranformations d'images

- Types de transformation

- Transformations ponctuelles

- Transformations locales

## Détection de contours



# Transformations locales

## Filtres linéaires : convolution

- **Principe** : le niveau de gris du pixel devient une somme pondérée des niveaux de gris de ses voisins



# Transformations locales

## Filtres linéaires : convolution

- **Principe** : le niveau de gris du pixel devient une somme pondérée des niveaux de gris de ses voisins
- **En continu**

$$I'(x, y) = (f * I)(x, y) \int_{-\infty}^{+\infty} \int_{-\infty}^{+\infty} f(x', y') I(x - x', y - y') dx' dy'. \quad (8)$$



# Transformations locales

## Filtres linéaires : convolution

- **Principe** : le niveau de gris du pixel devient une somme pondérée des niveaux de gris de ses voisins
- **En continu**

$$I'(x, y) = (f * I)(x, y) \int_{-\infty}^{+\infty} \int_{-\infty}^{+\infty} f(x', y') I(x - x', y - y') dx' dy'. \quad (8)$$

- **En discret**

$$I'(x, y) = \sum_{x'=-k}^k \sum_{y'=-l}^l F(k - x', l - y') I(x + x', y + y'). \quad (9)$$



# Transformations locales

## Notion de masque / de filtre

- Un masque ou un filtre = une région de taille strictement inférieure à l'image
- Ce masque ou ce filtre va nous permettre d'étudier l'image en parcourant toutes (ou une partie) des régions qui la composent qui ont exactement la même taille que ce masque ou ce filtre.
- Dans toutes les approches listées ensuite il est indispensable de stocker 2 éléments : l'image de départ et l'image de calcul qui deviendra l'image résultat.



# Transformations locales

Filtres linéaires : convolution en pratique

**Somme des poids = 1 pour conserver la dynamique entre 0 et 255**

	250	151	198
	254	152	117
	195	251	223

Image

# Transformations locales

Filtres linéaires : convolution en pratique

**Somme des poids = 1 pour conserver la dynamique entre 0 et 255**

	250	151	198
	254	152	117
	195	251	223

Image

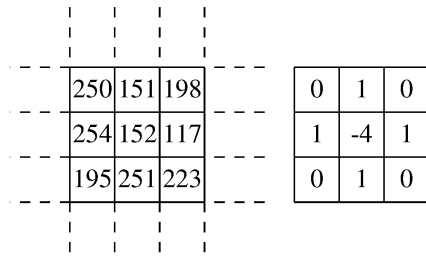
0	1	0
1	-4	1
0	1	0

Masque de convolution

# Transformations locales

Filtres linéaires : convolution en pratique

**Somme des poids = 1 pour conserver la dynamique entre 0 et 255**



Image

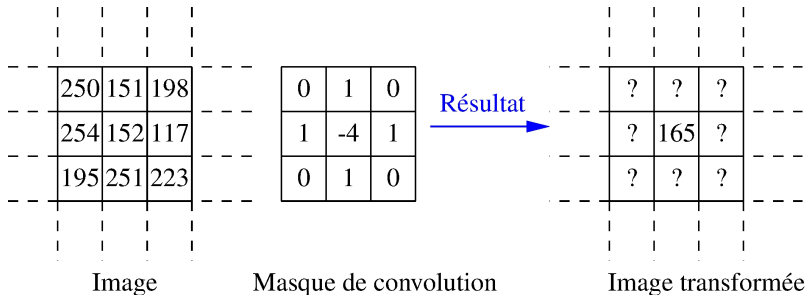
Masque de convolution

$$250 \times 0 + 151 \times 1 + 198 \times 0 \dots = 165$$

# Transformations locales

Filtres linéaires : convolution en pratique

**Somme des poids = 1 pour conserver la dynamique entre 0 et 255**



$$250 \times 0 + 151 \times 1 + 198 \times 0 \dots = 165$$

**On calcule donc :  $151 + 254 + 117 + 251 - 1524 \times 4 = 165$ .**



# Transformations locales

Filtres linéaires : convolution, voisinage et bordure

- **Notion de voisinage** : critère de similarité (niveaux de gris, couleur) ou critère d'adjacence
- **Stratégie aux bords de l'image** : quel impact sur les résultats ?
  - option `valid` en `matlab` : bords non traités  
Image résultat sera plus petite
  - option `same` en `matlab` : Ajout d'une bordure nulle ← revient à ajouter une bordure noire  
Image résultat de même taille
  - Calculs effectués de manière circulaire  
Image résultat de même taille
  - option `full` en `matlab` : Ajout d'une bordure nulle de la taille du filtre  
Image résultat plus grande



# Transformations locales

Filtres linéaires : convolution, filtre moyenneur

$$F = \frac{1}{N_I \times N_C} \mathbf{1}_{N_I \times N_C}$$

# Transformations locales

Filtres linéaires : convolution, filtre gaussien

## 1D

$$f(x) = \frac{1}{\sqrt{2\pi}\sigma} e^{-\frac{(x-\mu)^2}{2\sigma^2}},$$

## 2D

$$f(x, y) = \frac{1}{2\pi\sigma^2} e^{-\frac{(x-\mu_x)^2 + (y-\mu_y)^2}{2\sigma^2}},$$

avec  $\mu, \mu_x, \mu_y$  : moyennes et  $\sigma$  : écart type

# Transformations locales

Filtres linéaires : convolution, filtre gaussien

## 1D

$$f(x) = \frac{1}{\sqrt{2\pi\sigma}} e^{-\frac{(x-\mu)^2}{2\sigma^2}},$$

## 2D

$$f(x, y) = \frac{1}{2\pi\sigma^2} e^{-\frac{(x-\mu_x)^2 + (y-\mu_y)^2}{2\sigma^2}},$$

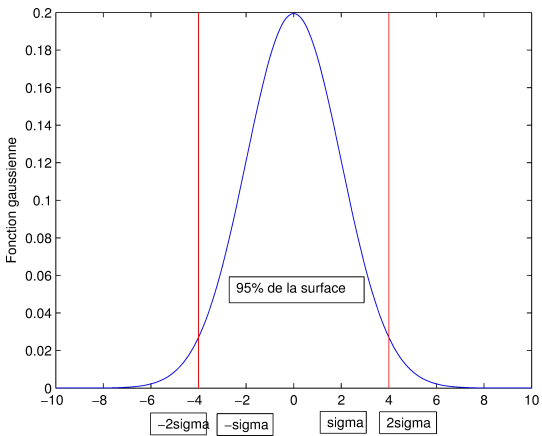
avec  $\mu, \mu_x, \mu_y$  : moyennes et  $\sigma$  : écart type

Souvent  $\mu, \mu_x, \mu_y = 0$  et  $\sigma$  dépend de la taille du masque et  $\sigma = \frac{N_m}{4}$  où  $N_m$  : taille du masque



# Transformations locales

Filtres linéaires : convolution, filtre gaussien





# Transformations locales

## Filtres linéaires : convolution, exemple de filtres gaussiens (1)

- 1D avec une taille de 5 et en 2D avec une taille de 3

$$F_5 = (f(-2) \quad f(-1) \quad f(0) \quad f(1) \quad f(2))$$

$$F_{3,3} = \begin{pmatrix} f(-1, -1) & f(-1, 0) & f(-1, 1) \\ f(0, -1) & f(0, 0) & f(0, 1) \\ f(1, -1) & f(1, 0) & f(1, 1) \end{pmatrix}$$



# Transformations locales

## Filtres linéaires : convolution, exemple de filtres gaussiens (2)

- Filtres simplifiés

$$F_5 = (f(2) \quad f(1) \quad f(0) \quad f(1) \quad f(2))$$

$$F_{3,3} = \begin{pmatrix} f(1,1) & f(0,1) & f(1,1) \\ f(0,1) & f(0,0) & f(0,1) \\ f(1,1) & f(0,1) & f(1,1) \end{pmatrix}$$

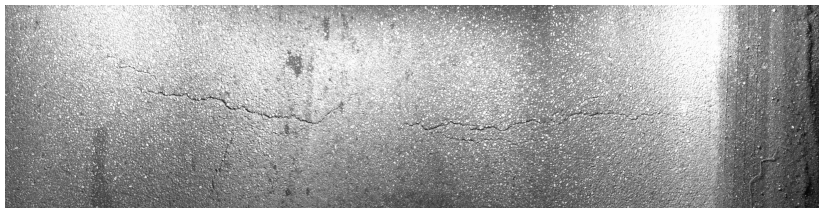
- Filtres normalisés

$$F_5^N = \frac{1}{f(0) + 2f(1) + 2f(2)} F_5 \quad \text{et} \quad F_{3,3}^N = \frac{1}{f(0,0) + 4f(0,1) + 4f(1,1)} F_{3,3}$$

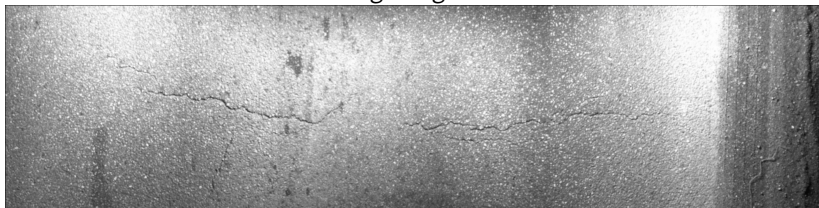


# Transformations locales

Filtres linéaires : convolution, moyeneur : comportement



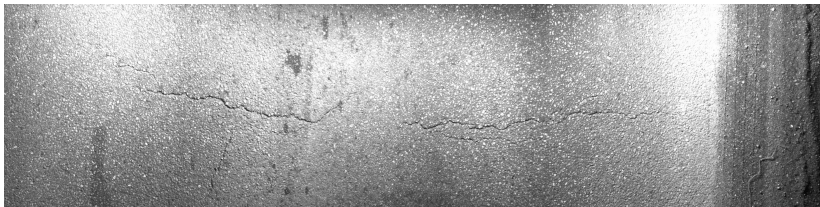
*Image originale*



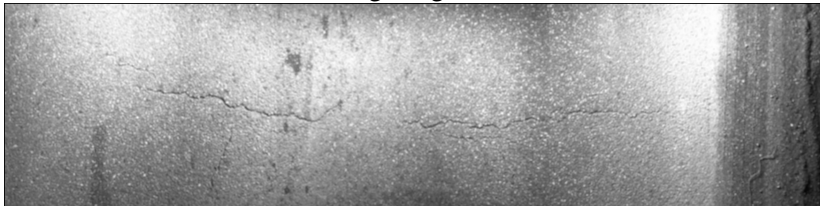
*Filtre 3 x 3*

# Transformations locales

Filtres linéaires : convolution, moyeneur : comportement



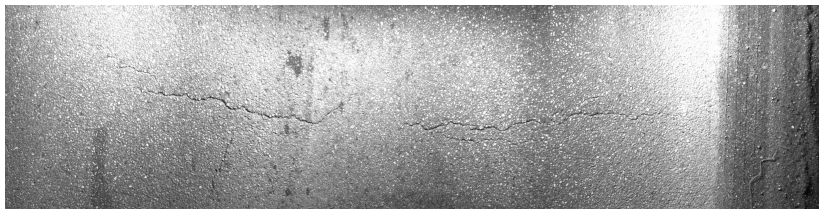
*Image originale*



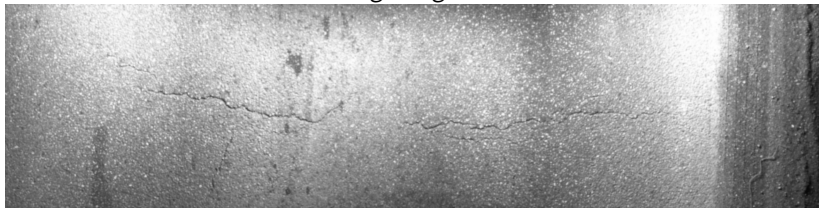
*Filtre  $5 \times 5$*

# Transformations locales

Filtres linéaires : convolution, filtre gaussien : comportement et comparaison



*Image originale*



*Filtre gaussien 3 × 3*

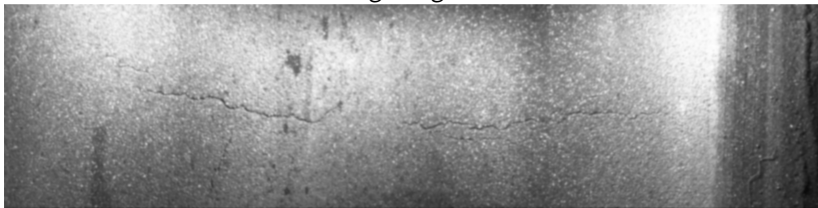


# Transformations locales

Filtres linéaires : convolution, filtre gaussien : comportement et comparaison



*Image originale*

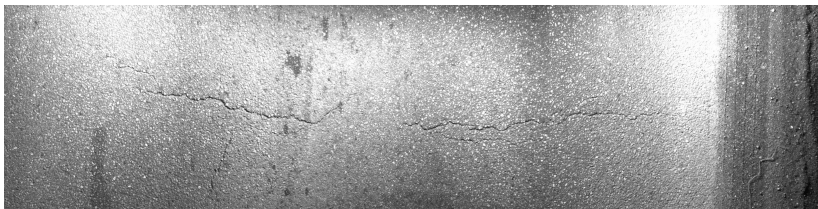


*Filtre gaussien  $9 \times 9$*



# Transformations locales

Filtres linéaires : convolution, filtre gaussien : comportement et comparaison



*Image originale*



*Filtre moyennneur  $9 \times 9$*





# Transformations locales

Filtres non linéaires : filtre médian et conservateur

- Les filtres linéaires présentés ne permettent pas d'éliminer facilement des bruits de type "poivre et sel".



# Transformations locales

Filtres non linéaires : filtre médian et conservateur

- Les filtres linéaires présentés ne permettent pas d'éliminer facilement des bruits de type "poivre et sel".
- **Médian**

$$I'(x, y) = \text{med}\{\mathcal{V}(x, y)\}$$

# Transformations locales

## Filtres non linéaires : filtre médian et conservateur

- Les filtres linéaires présentés ne permettent pas d'éliminer facilement des bruits de type "poivre et sel".
- **Médian**

$$I'(x, y) = \text{med}\{\mathcal{V}(x, y)\}$$

- **Conservateur** : Version "plus douce" du filtre médian

$$I'(x, y) = \begin{cases} I_{\min}(x, y) & \text{Si } I(x, y) < I_{\min} \\ I_{\max}(x, y) & \text{Si } I(x, y) > I_{\max} \\ I(x, y) & \text{Sinon.} \end{cases}$$

où  $I_{\min/\max}(x, y) = \min / \max(\mathcal{V}(x, y))$  et  $I(x, y) \notin \mathcal{V}(x, y)$



# Transformations locales

Filtres non linéaires : filtre médian et conservateur

	120	121	125
	100	35	45
	195	20	35

Image

# Transformations locales

Filtres non linéaires : filtre médian et conservateur

120	121	125
100	35	45
195	20	35

Image

120	121	125
100	100	45
195	20	35

Filtre médian

# Transformations locales

Filtres non linéaires : filtre médian et conservateur

	120	121	125
	100	35	45
	195	20	35

Image

	120	121	125
	100	100	45
	195	20	35

Filtre médian

	120	121	125
	100	35	45
	195	20	35

Filtre conservateur

# Transformations locales

## Filtres non linéaires : comportement et comparaison



*Image bruitée (10%)*



# Transformations locales

Filtres non linéaires : comportement et comparaison



*Image bruitée (10%)*



*Filtre moyeneur  $3 \times 3$*





# Transformations locales

Filtres non linéaires : comportement et comparaison



*Image bruitée (10%)*



*Filtre moyeneur  $5 \times 5$*



# Transformations locales

Filtres non linéaires : comportement et comparaison



*Image bruitée (10%)*



*Filtre gaussien  $5 \times 5$*

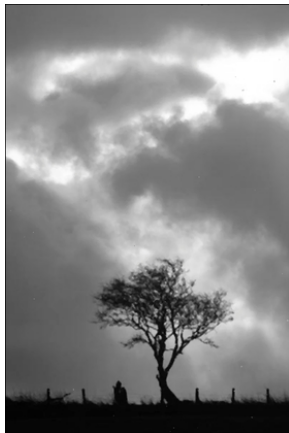


# Transformations locales

Filtres non linéaires : comportement et comparaison



*Image bruitée (10%)*



*Filtre médian 3 × 3*

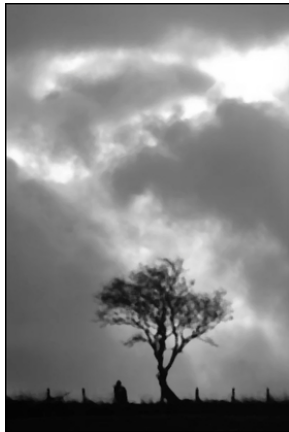


# Transformations locales

Filtres non linéaires : comportement et comparaison



*Image bruitée (10%)*



*Filtre médian  $5 \times 5$*











# Transformations locales

## Filtres linéaires et non linéaires : résumé

FILTRE	<b>Moyenne</b>	<b>Gaussien</b>
PRINCIPE	Moyenne des niveaux de gris	Moyenne pondérée des niveaux de gris
INTÉRÊTS	Atténue bruits, texture (lissage)	Plus doux que la moyenne
INCONVÉNIENTS	Flou, atténue petits détails	Moins importants que la moyenne
FILTRE	<b>Médian</b>	<b>Conservateur</b>
PRINCIPE	Médiane des niveaux de gris	Médiane tronquée
INTÉRÊTS	Atténue bruit impulsionnel	Plus doux que la médiane
INCONVÉNIENTS	Supprime les coins	Non robuste aux images très bruitées



## Ponctuel versus local

- Quel est l'intérêt d'utiliser des transformations ponctuelles plutôt que locales ?
- Ne permettent-elles pas de faire la même chose ?

<b>Ponctuelle</b>	<b>Locale</b>
Amélioration surtout du <b>contraste</b>	Amélioration surtout en supprimant les <b>bruits</b>
Permet d'étudier la <b>dynamique de l'image et de la modifier</b>	Permet d'étudier des primitives de l'image, comme les <b>contours</b> , cf. chapitre suivant

## Comment palier les défauts ?

- Exemple : coins enlevés par filtre médian → filtre conservateur
- Proposition : combiner des filtres
- **Ce qu'il faut retenir**

Indications fournies pour faire le meilleur choix en fonction de l'application visée



# Plan de la présentation

Tranformations d'images

Détection de contours

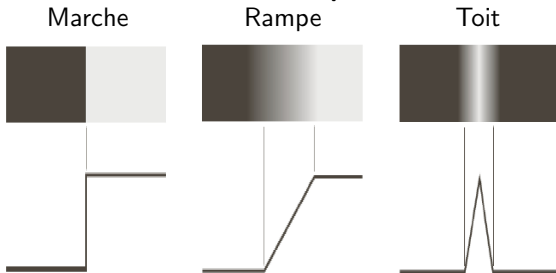
- Définitions et notion de dérivée
- Algorithme de détection basique
- Calcul de dérivées premières
- Calcul des dérivées secondes



# Définitions et notion de dérivée

## Notion de dérivées

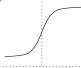

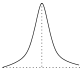
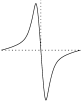
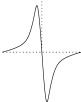
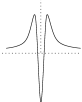
**Profil théorique : Pourquoi choisir marche ou toit alors qu'on observe rampe ?**





# Définitions et notion de dérivée

## Notion de dérivée

<b>Profil</b>	 <p>Marche</p>	 <p>Toit</p>
<b>Dérivée première</b>	 <p>Maximum</p>	 <p>Passage par zéro</p>
<b>Dérivée seconde</b>	 <p>Passage par zéro</p>	 <p>Minimum</p>

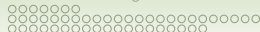


# Définitions et notion de dérivée

## Notion de dérivée

- La plupart du temps : contours de type marche ou toit (mais surtout marche).
- Ils sont favorisés car les profils des dérivées sont plus faciles à analyser qu'avec une rampe.
- **Si nous choisissons un des deux modèles, nous détecterons moins bien les contours qui suit le deuxième modèle.**
- Tout le raisonnement proposé pour un contour de type marche est strictement généralisable au cas des contours de type toit.





# Plan de la présentation

Tranformations d'images

Détection de contours

- Définitions et notion de dérivée

- Algorithme de détection basique

- Calcul de dérivées premières

- Calcul des dérivées secondes

# Algorithme de détection basique

## Données

Image à traiter :  $I$

Image binaire représentant les contours :  $I_c$

## Algorithme de calcul de contours

### 1. Pour chaque $(x,y) \in I$ faire

Calcul du gradient en évaluant sa norme et son gradient

- Norme :  $\|\nabla I(x,y)\| = \sqrt{(I_x^2 + I_y^2)}$
- Direction :  $\theta = \arctan\left(\frac{I_y}{I_x}\right)$

ou calcul du laplacien

### 2. Seuillage de l'image ou des images

ou détection des passages par zéro

### 3. Fermeture des contours

# Analyse de cet algorithme

- Variations induites par
  1. Manière d'effectuer le seuillage l'image
  2. Utilisation ou non d'une étape de fermeture
  3. Filtre utilisé pour le calcul de la dérivée



## Analyse de cet algorithme

- Variations induites par
  1. Manière d'effectuer le seuillage l'image
  2. Utilisation ou non d'une étape de fermeture
  3. Filtre utilisé pour le calcul de la dérivée
- Dérivées premières : seuillage effectué avec l'image des normes

# Seuillage/binarisation

- Choix du seuillage délicat : Otsu, distribution gaussienne
- **Seuillage par hystérésis**



## Seuillage/binarisation

- Choix du seuillage délicat : Otsu, distribution gaussienne
- **Seuillage par hystérésis**
  - Deux niveaux de seuils :  $S_h$ , un seuil haut, et  $S_b$  un seuil bas :  
 $S_b < S_h$



# Seuillage/binarisation

- Choix du seuillage délicat : Otsu, distribution gaussienne
- **Seuillage par hystérésis**
  - Deux niveaux de seuils :  $S_h$ , un seuil haut, et  $S_b$  un seuil bas :  

$$S_b < S_h$$
  - Étapes
    1. Sélection de  $I_h = \{I(x, y) \mid \|\nabla I(x, y)\| \geq S_h\}$  (points fiables)
    2. Sélection de  

$$I_b = \{I(x, y) \mid \|\nabla I(x, y)\| \geq S_b \text{ et } \exists I(k, l) \in \mathcal{V}(x, y) \mid I(k, l) \in I_h\}$$
    3.  $I_h = I_h \cup I_b$



## Seuillage/binarisation

- Choix du seuillage délicat : Otsu, distribution gaussienne
- **Seuillage par hystérésis**
  - Deux niveaux de seuils :  $S_h$ , un seuil haut, et  $S_b$  un seuil bas :
 
$$S_b < S_h$$
  - Étapes
    1. Sélection de  $I_h = \{I(x, y) \mid \|\nabla I(x, y)\| \geq S_h\}$  (points fiables)
    2. Sélection de
 
$$I_b = \{I(x, y) \mid \|\nabla I(x, y)\| \geq S_b \text{ et } \exists I(k, l) \in \mathcal{V}(x, y) \mid I(k, l) \in I_h\}$$
    3.  $I_h = I_h \cup I_b$
  - (2) et (3) sont répétés de manière itérative jusqu'à ce que  $I_b = \emptyset$





## Seuillage/binarisation

- Choix du seuillage délicat : Otsu, distribution gaussienne
- **Seuillage par hystérésis**
  - Deux niveaux de seuils :  $S_h$ , un seuil haut, et  $S_b$  un seuil bas :
 
$$S_b < S_h$$
  - Étapes
    1. Sélection de  $I_h = \{I(x, y) \mid \|\nabla I(x, y)\| \geq S_h\}$  (points fiables)
    2. Sélection de
 
$$I_b = \{I(x, y) \mid \|\nabla I(x, y)\| \geq S_b \text{ et } \exists I(k, l) \in \mathcal{V}(x, y) \mid I(k, l) \in I_h\}$$
    3.  $I_h = I_h \cup I_b$
  - (2) et (3) sont répétés de manière itérative jusqu'à ce que  $I_b = \emptyset$
  - **Avantages** : contours mieux fermés et choix des seuils moins sensible

# Seuillage/binarisation

- Choix du seuillage délicat : Otsu, distribution gaussienne
- **Seuillage par hystérésis**
  - Deux niveaux de seuils :  $S_h$ , un seuil haut, et  $S_b$  un seuil bas :  

$$S_b < S_h$$
  - Étapes
    1. Sélection de  $I_h = \{I(x, y) \mid \|\nabla I(x, y)\| \geq S_h\}$  (points fiables)
    2. Sélection de  

$$I_b = \{I(x, y) \mid \|\nabla I(x, y)\| \geq S_b \text{ et } \exists I(k, l) \in \mathcal{V}(x, y) \mid I(k, l) \in I_h\}$$
    3.  $I_h = I_h \cup I_b$
  - (2) et (3) sont répétés de manière itérative jusqu'à ce que  $I_b = \emptyset$
  - **Avantages** : contours mieux fermés et choix des seuils moins sensible
  - **Contraintes à ajouter** : Lien entre les deux seuils

# Fermeture de contours

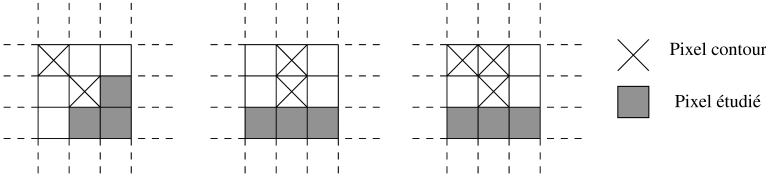
- **Motivations**

1. Manques dus à la présence de bruit ou à des occultations
2. Erreurs dues à des leurres dans les images

- **Principes utilisés**

1. **Configuration des points**
2. Direction du gradient
3. Suppression des contours non-fermés

# Fermeture de contours par configuration de points





# Représentation des contours par codage de Freeman

## Un exemple ensemble

- **Principe :** Représentation compact d'un contour en numérotant les 8 directions possibles pour un point de contour, et en considérant qu'un élément de contour relie 2 pixels connexes
- **Étapes :**
  1. Choix du nombre de directions (4 ou 8)
  2. Choix d'un pixel initial
  3. Codage de la direction qui permet de passer au pixel contour suivant.L'étape (3) est réalisée jusqu'à revenir au point initial.

# Plan de la présentation

Tranformations d'images

Détection de contours

- Définitions et notion de dérivée

- Algorithme de détection basique

- Calcul de dérivées premières

- Calcul des dérivées secondes



# Calcul de dérivées premières

## Illustration du gradient

### Approximation par différences finies

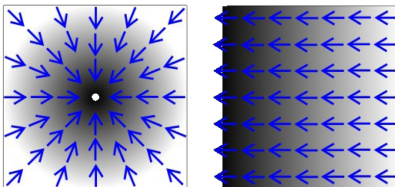
- Le principe est de calculer des différences finies pour approximer les dérivées, exactement comme cela peut être fait en mathématiques pour estimer les dérivées de fonctions.
- Plusieurs directions sont possibles, d'où deux filtres : un pour calculer la dérivée suivant les lignes et un suivant les colonnes.

# Calcul de dérivées premières

## Illustration du gradient

### Approximation par différences finies

- Le principe est de calculer des différences finies pour approximer les dérivées, exactement comme cela peut être fait en mathématiques pour estimer les dérivées de fonctions.
- Plusieurs directions sont possibles, d'où deux filtres : un pour calculer la dérivée suivant les lignes et un suivant les colonnes.





# Calcul de dérivées premières

## Convolution sans lissage

Nom	$F_x$	$F_y$
Différences de pixels 1	$\begin{pmatrix} 0 & 0 & 0 \\ 0 & 1 & 0 \\ 0 & -1 & 0 \end{pmatrix}$	$\begin{pmatrix} 0 & 0 & 0 \\ 0 & 1 & -1 \\ 0 & 0 & 0 \end{pmatrix}$
Différences de pixels 2	$\begin{pmatrix} 0 & 1 & 0 \\ 0 & 0 & 0 \\ 0 & -1 & 0 \end{pmatrix}$	$\begin{pmatrix} 0 & 0 & 0 \\ 1 & 0 & -1 \\ 0 & 0 & 0 \end{pmatrix}$
Roberts	$\begin{pmatrix} 0 & 0 & 0 \\ 0 & 1 & 0 \\ 0 & 0 & -1 \end{pmatrix}$	$\begin{pmatrix} 0 & 0 & -1 \\ 0 & 1 & 0 \\ 0 & 0 & 0 \end{pmatrix}$

# Calcul de dérivées premières

## Convolution avec pondération

Prewitt	$\frac{1}{3} \begin{pmatrix} 1 & 1 & 1 \\ 0 & 0 & 0 \\ -1 & -1 & -1 \end{pmatrix}$	$\frac{1}{3} \begin{pmatrix} 1 & 0 & -1 \\ 1 & 0 & -1 \\ 1 & 0 & -1 \end{pmatrix}$
Sobel	$\frac{1}{4} \begin{pmatrix} 1 & 2 & 1 \\ 0 & 0 & 0 \\ -1 & -2 & -1 \end{pmatrix}$	$\frac{1}{4} \begin{pmatrix} 1 & 0 & -1 \\ 2 & 0 & -2 \\ 1 & 0 & -1 \end{pmatrix}$
Frei-Chen	$\frac{1}{4} \begin{pmatrix} 1 & \sqrt{2} & 1 \\ 0 & 0 & 0 \\ -1 & -\sqrt{2} & -1 \end{pmatrix}$	$\frac{1}{4} \begin{pmatrix} 1 & 0 & -1 \\ \sqrt{2} & 0 & -\sqrt{2} \\ 1 & 0 & -1 \end{pmatrix}$

# Calcul de dérivées premières

Exemples de détection : effet des filtres directionnels

Image



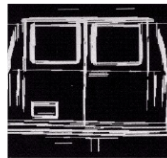
Verticaux



Horizontaux



Norme



# Calcul de dérivées premières

Exemples de détection : effet des différents filtres

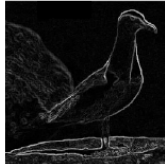
Image



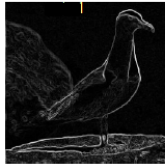
Roberts



Prewitt



Sobel



# Calcul de dérivées premières

Exemples de détection : effet du seuillage

Image



Sans seuil

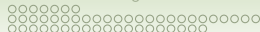


Seuil = 25



Seuil = 60





# Calcul de dérivées premières

## Analyse et conclusion sur ces opérateurs basiques

- Sensible aux bruits
- Nécessité d'un lissage
- Filtrage, par exemple, gaussien



# Calcul de dérivées premières

## Convolution avec lissage

- On souhaite calculer

$$I' = (I \times f)'$$

# Calcul de dérivées premières

## Convolution avec lissage

- On souhaite calculer

$$I' = (I \times f)'$$

- En utilisant la transformée de Fourier, sachant que  $f$  est la réponse impulsionnelle d'un filtre

$$(I \times f)' = I \times f'$$

- De même :  $(I \times f)'' = I \times f''$



# Calcul de dérivées premières

## Convolution avec lissage

- On souhaite calculer

$$I' = (I \times f)'$$

- En utilisant la transformée de Fourier, sachant que  $f$  est la réponse impulsionnelle d'un filtre

$$(I \times f)' = I \times f'$$

- De même :  $(I \times f)'' = I \times f''$

On peut calculer la dérivée tout en effectuant un lissage si on filtre avec la dérivée d'un filtre de lissage.

# Calcul de dérivées premières

Exemples de masques obtenus avec la dérivée gaussienne

- **1D**

$$f(x) = \frac{1}{\sqrt{2\pi}\sigma} e^{-\frac{x^2}{2\sigma^2}}$$



# Calcul de dérivées premières

Exemples de masques obtenus avec la dérivée gaussienne

- **1D**

$$f(x) = \frac{1}{\sqrt{2\pi}\sigma} e^{-\frac{x^2}{2\sigma^2}}$$

- **Dérivée en 1D**

$$f'(x) = \frac{-x}{\sqrt{2\pi}\sigma^3} e^{-\frac{x^2}{2\sigma^2}}$$



# Calcul de dérivées premières

Exemples de masques obtenus avec la dérivée gaussienne

- 1D

$$f(x) = \frac{1}{\sqrt{2\pi}\sigma} e^{-\frac{x^2}{2\sigma^2}}$$

- Dérivée en 1D

$$f'(x) = \frac{-x}{\sqrt{2\pi}\sigma^3} e^{-\frac{x^2}{2\sigma^2}}$$

- 2D

$$f(x, y) = \frac{1}{2\pi\sigma^2} e^{-\frac{x^2+y^2}{2\sigma^2}}$$

# Calcul de dérivées premières

Exemples de masques obtenus avec la dérivée gaussienne

- 1D

$$f(x) = \frac{1}{\sqrt{2\pi}\sigma} e^{-\frac{x^2}{2\sigma^2}}$$

- Dérivée en 1D

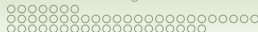
$$f'(x) = \frac{-x}{\sqrt{2\pi}\sigma^3} e^{-\frac{x^2}{2\sigma^2}}$$

- 2D

$$f(x, y) = \frac{1}{2\pi\sigma^2} e^{-\frac{x^2+y^2}{2\sigma^2}}$$

- Dérivée en 2D, en  $x$ , et en  $y$

$$f_{x/y}(x) = \frac{-x/y}{2\pi\sigma^4} e^{-\frac{(x^2+y^2)}{2\sigma^2}}$$



# Calcul de dérivées premières

Exemples de masques obtenus avec la dérivée gaussienne

- Masque en 1D avec une taille de 5

$$F'_5 = (f'(-2) \quad f'(-1) \quad f'(0) \quad f'(1) \quad f'(2))$$

- Masque en  $x$  en 2D avec une taille de 3

$$F'_{3,3} = \begin{pmatrix} f'(-1, -1) & f'(-1, 0) & f'(-1, 1) \\ f'(0, -1) & f'(0, 0) & f'(0, 1) \\ f'(1, -1) & f'(1, 0) & f'(1, 1) \end{pmatrix}$$



# Calcul des dérivées

Exemples de masques obtenus avec la dérivée gaussienne

Simplification car  $f'(x) = -f'(x)$

$$F'_5 = (f'(2) \quad f'(1) \quad 0 \quad f'(1) \quad f'(2))$$

$$F'_{3,3} = \begin{pmatrix} f(-1, 1) & f(-1, 0) & f(-1, 1) \\ 0 & 0 & 0 \\ -f(-1, 1) & -f(-1, 0) & -f(-1, 1) \end{pmatrix}$$



# Calcul des dérivées

## Exemples de masques obtenus avec la dérivée gaussienne

Normalisation par la **somme des éléments positifs**

$$F_5^N = \frac{1}{f'(1) + f'(2)} F_5 \quad \text{et} \quad F_{3,3}^N = \frac{1}{f(-1,0) + 2f(-1,1)} F_{3,3}$$



# Plan de la présentation

Tranformations d'images

Détection de contours

- Définitions et notion de dérivée
- Algorithme de détection basique
- Calcul de dérivées premières
- Calcul des dérivées secondes

## Calcul des dérivées secondes

Par convolution

$$\nabla^2 I(x, y) = I_{xx}(x, y) + I_{yy}(x, y).$$

- Approximation du calcul du laplacien en intégrant un passage par zéro au niveau du pixel étudié
- Somme des poids = 0
- Coefficients opposés entre le centre et le reste des pixels du masque

$$\begin{pmatrix} 0 & -1 & 0 \\ -1 & 4 & -1 \\ 0 & -1 & 0 \end{pmatrix} \quad \begin{pmatrix} -1 & -1 & -1 \\ -1 & 8 & -1 \\ -1 & -1 & -1 \end{pmatrix} \quad \begin{pmatrix} 1 & -2 & 1 \\ -2 & 4 & -2 \\ 1 & -2 & 1 \end{pmatrix}$$

**Le Laplacien est sensible au bruit d'où le laplacien de gaussien.**

# Calcul des dérivées secondes

Par laplacien de gaussien ou *Laplacian of Gaussian, LoG*

$$\text{LoG}(x, y) = g_{xx}(x, y) + g_{yy}(x, y),$$

où  $g_{xx}$ , respectivement  $g_{yy}$ , sont les dérivées secondes de la gaussienne, en  $x$ , respectivement en  $y$ . Après développement de cette formule, nous obtenons :

- Après développement

$$\text{LoG}(x, y) = -\frac{1}{\pi\sigma^4} \left( 1 - \frac{x^2 + y^2}{2\sigma^2} \right) e^{-\frac{x^2 + y^2}{2\sigma^2}}.$$

- Approximation du laplacien, plus robuste au bruit, moins coûteux en temps de calculs :

**Différences de gaussiennes ou DoG, Difference Of Gaussian**